

Keywords

Closed cell foam
National NR
Carbon black
Azodicarbonamide (ADC)
Morphology

Effect of carbon black on morphological and mechanical properties of rubber foams produced by a single-step method

**Ali Vahidifar¹, Elnaz Esmizadeh¹, Ehsan Rostami¹, Saeed Nouri Khorasani^{2*},
Hossein Ali Khonakdar³**

1- Department of Polymer Science and Engineering, Faculty of Engineering, University of Bonab, Bonab

2- Department of Chemical Engineering, Isfahan University of Technology, Isfahan

3- Plastic Group, Department of Processing, Iran Polymer and Petrochemical Institute, Tehran

Abstract

In this research, closed-cell natural rubber foams were produced using a single-step compression molding. The effect of carbon black content on morphology, physical and mechanical properties of the foams were examined. Results showed that in this methodology, the foam density was independent of reinforcement percentage, which is a unique characteristic of single-step foams that contrasts with other previous observations. The study of curing behavior of foam compounds showed that the carbon black increasing from 0 to 30 phr increased the crosslink density (CLD) from $6.5 \text{ to } 8.3 \times 10^{-5} \text{ mol/cm}^3$, the cure rate from 16.1 to 23.2 (%/min) and the ultimate torque from 5.8 to 10.4 Nm, while, reduced curing time from 9.2 to 5.8 min. The scanning electron microscope (SEM) results showed that the reinforcement acted as a nucleation agent increasing the cell density from 8 N/cm^3 to 140 N/cm^3 and reducing the cell size from $579 \mu\text{m}$ to $255 \mu\text{m}$. The increase of reinforcing content in the produced foams reduced the cells size and enhanced the properties of the rubber matrix. Accordingly, the modulus and hardness of the foams were increased by 0.8 MPa and 40 shore A, respectively. Results of sound absorption and reflection showed that the rubber foam reflects the sound waves more than 90% and absorbs waves about 10%.

*To whom correspondence should be addressed:
saeid@cc.iut.ac.ir

اثر دوده بر ریزساختار و خواص مکانیکی اسفنج‌های لاستیکی تولید شده به روش تک مرحله‌ای

علی وحیدی فر^۱، الناز اسمی‌زاده^۱، احسان رستمی^۱، سعید نوری خراسانی^{۲*}،
حسین علی خنکدار^۳

۱- بناب، دانشگاه بناب، گروه علوم و مهندسی پلیمر
۲- اصفهان، دانشگاه صنعتی اصفهان، دانشکده مهندسی پلیمر
۳- تهران، پژوهشگاه پلیمر و پتروشیمی ایران، پژوهشکده فرایند، گروه پلاستیک

فصلنامه علمی - پژوهشی
سال اول، شماره ۱، شماره پیاپی ۱،
پاییز ۱۳۹۶، صفحه ۴۹-۶۰

چکیده

در این پژوهش، اسفنج‌های سلول بسته لاستیک NR با درصدهای مختلف دوده توسط روش تک مرحله‌ای و با استفاده از قالب‌گیری فشاری تولید شده، ریخت‌شناسی، خواص فیزیکی و مکانیکی آن‌ها مورد بررسی قرار گرفت. چگالی اسفنج‌های تولید شده در این پژوهش مستقل از درصد دوده به دست آمد که از مزایای تولید اسفنج به روش یک مرحله‌ای بوده و برخلاف نتایج سایر مطالعات گزارش شده است. مطالعه رفتار پخت آمیزه اسفنج‌ها نشان داد که افزایش دوده از مقدار ۰ تا ۳۰ phr باعث افزایش مقدار پخت از 10^{-5} mol/cm^3 به $6 \times 10^{-5} \text{ mol/cm}^3$ افزایش سرعت پخت از $(16/1) \text{ \% /min}$ به $(32/2) \text{ \% /min}$ کاهش زمان پخت از $9/2$ به $5/8$ دقیقه و هم‌چنین افزایش گشتاور نهایی از $10/4 \text{ Nm}$ به $5/8 \text{ Nm}$ شد. نتایج مطالعه ریز ساختار اسفنج‌ها با استفاده از میکروسکوپ نوری روبشی (SEM) نشان داد که دوده به عنوان عامل هسته‌گذار عمل کرده و چگالی سلولی را از 8 N/cm^3 به 140 N/cm^3 افزایش داده است. هم‌چنین باعث کاهش اندازه سلول‌ها از $579 \mu\text{m}$ به $255 \mu\text{m}$ شده است. افزایش درصد دوده در اسفنج تولید شده، باعث کاهش اندازه سلول‌ها و هم‌چنین افزایش خواص ماتریس لاستیکی شد. این امر به افزایش مدول و سختی اسفنج به ترتیب میزان به اندازه $0/8 \text{ MPa}$ و 40 shore A منجر شد. رفتار جذب و انعکاس امواج صدا نشان داد که اسفنج‌های لاستیکی بیش از 90% امواج صدا را منعکس کرده و حدود 10% امواج را جذب می‌کنند.

واژه‌های کلیدی

اسفنج سلول بسته
لاستیک طبیعی
دوده
آزوی کربن آمید
ریخت‌شناسی

* مسئول مکاتبات:
saiied@cc.iut.ac.ir

مقدمه

و پخش آن ها وسیع تر می شود. مطالعات کیم (Kim) و همکارانش [۱۱]، لی (Lee) و همکارانش [۱۲] بر خواص اسفنج های لاستیک طبیعی نشان داد که افزایش دمای پخت موجب کاهش زمان اینمی، افزایش سرعت پخت، کاهش حداقل گشتاور (به دلیل کاهش میزان گرانروی) و کاهش حدکثر گشتاور (به دلیل کاهش چگالی و شکست اتصالات عرضی)، شده است. هم چنین مطالعه اثر دمای اسفنج شدن بر خواص مکانیکی اسفنج NR نشان داد افزایش دمای پخت به دلیل کاهش چگالی اسفنج، افزایش اندازه سلول ها و کاهش چگالی اتصالات عرضی، باعث کاهش ازدیاد طول نهایی، کاهش مقاومت کششی، کاهش مقاومت پارگی و کاهش سختی اسفنج شده است [۱۲، ۱۱].

نجیب و همکارانش در سال ۲۰۰۹ اثر بی کربنات سدیم به عنوان عامل شیمیایی اسفنج زا را در لاستیک طبیعی در درصد های phr ۴، phr ۸ و phr ۱۰ و phr ۱۲ بررسی کردند [۱۳]. افزایش غلظت بی کربنات سدیم باعث افزایش تعداد سلول ها، کوچک تر شدن آن ها و در نهایت یکنواخت تر شدن ساختار اسفنج شده است. چون تجزیه بی کربنات سدیم یک مرحله ای است و با توجه به پخش یکنواخت آن در ماتریس لاستیکی، سلول ها هم زمان هسته زده و به صورت هم اندازه و یکنواخت رشد می کنند که همین عامل باعث افزایش تعداد سلول ها و کاهش اندازه آن ها شده است.

مطالعه اثر نوع نانوذرات بر خواص فیزیکی و مکانیکی اسفنج های NR/nanoclay نشان داد که افزایش درصد نانوذرات خاک رس باعث کاهش اندازه سلولی، افزایش چگالی سلولی (تعداد سلول در واحد حجم اسفنج) و هم چنین افزایش خواص مکانیکی اسفنج مانند مدول و سختی اسفنج شده است. هم چنین نانوذرات با توزیع بهتر در ماتریس، اندازه سلولی کوچکتری داشتند [۱۴]. مطالعات نشان داده که دوده باعث افزایش سرعت پخت، افزایش میزان پخت و افزایش مدول اسفنج شده است؛ لذا مقاومت در برابر انساط سلول ها افزایش یافته است. با افزایش دوده، دیواره سلول ها ضخیم تر، چگالی اسفنج

اسفنج لاستیکی، لاستیک انساط یافته و پخت شده است که یکی از کاربردهای مهم لاستیک در صنایع محسوب می شود. نام های دیگر اسفنج های لاستیکی، لاستیک های منبسط شده و لاستیک های سلولی است. با توجه به اینکه فاز گاز (سلول ها) به یکدیگر مرتبط بوده و یا از هم جدا باشند این اسفنج ها به دو دسته اسفنج های سلول باز و سلول بسته تقسیم می شوند. اسفنج های به دلیل قیمت پایین و چگالی کم، کاربردهای بسیاری دارند. کاربرد اسفنج های لاستیکی به سه دسته عمده عایق حرارتی، جاذب انرژی و مصارف ساختاری تقسیم بنده می شود [۱، ۲].

برای تولید اسفنج با ریز ساختار، خواص و هم چنین کاربرد مشخص، باید متغیرهای زیادی مورد مطالعه و تحت کنترل قرار بگیرد. این متغیرها شامل متغیرهای فرمول بنده مانند: نوع لاستیک، نوع و درصد عامل اسفنج زا، نوع و درصد شتاب دهنده، نوع و درصد نانو ذرات، و هم چنین متغیرهای فرایندی مانند دما و زمان پیش پخت، دما و زمان پخت و اسفنج شدن، فشار اسفنج شدن و... است. این متغیرها بر ویژگی های اسفنج مانند چگالی اسفنج، سرعت پخت، چگالی اتصالات عرضی ماتریس لاستیکی، متوسط اندازه سلول ها، پخش اندازه سلول ها، ضخامت دیواره سلول ها، نوع سلول ها (باز یا بسته بودن)، شکل سلول ها و... موثر بوده و در نهایت خواص فیزیکی، مکانیکی و کاربردی اسفنج را کنترل می کنند [۳-۶].

مطالعه اثر دمای فرایند نشان داد، دمای پخت بالا باعث افزایش گاز تولیدی و ایجاد گاز با فشار بالاتر شده که موجب کشیده تر شدن دیواره سلول ها، افزایش اندازه سلول ها شده و در نهایت میزان انساط بیشتر و تولید اسفنج با چگالی کمتر می شود [۶-۹].

نجیب (Najib) و همکارانش اسفنج های لاستیک طبیعی را با دمای پخت و اسفنج شدن نهایی ۱۵۰، ۱۴۰ و ۱۶۰ درجه سانتیگراد تولید کردند [۱۰]. نتایج نشان داد که با افزایش دمای اسفنج شدن، اندازه سلول ها بزرگ تر

الف) قابلیت تولید اسفنج های لاستیک و منعطف در شکل های دقیق و پیچیده وجود دارد در حالی که در روش دو مرحله ای چنین امکانی وجود ندارد.

ب) قابلیت دیگری که در هیچ یک از اسفنج های تولید شده تا به حال گزارش نشده است، تولید اسفنج هایی است که در آن فشار گاز داخل سلول بالا بوده و می تواند باعث افزایش هم زمان مدول و جهندگی شود.

ج) اسفنج های تولید شده در این روش دارای چگالی کاملاً مشخص و ابعاد کاملاً دقیق هستند که قبل از فرایند قابل محاسبه دقیق است. در حالی که در روش های دیگر چنین مزایایی گزارش نشده است.

در این پژوهش، اسفنج های NR به صورت تک مرحله ای تولید شده اند و اثر درصد دوده بر رفتار پخت، اندازه و پخش سلول های موجود در اسفنج، خواص تحریب حرارتی، آزمون فشاری، و خواص صوتی اسفنج های NR مورد تجزیه و تحلیل قرار گرفته اند.

تجزیه

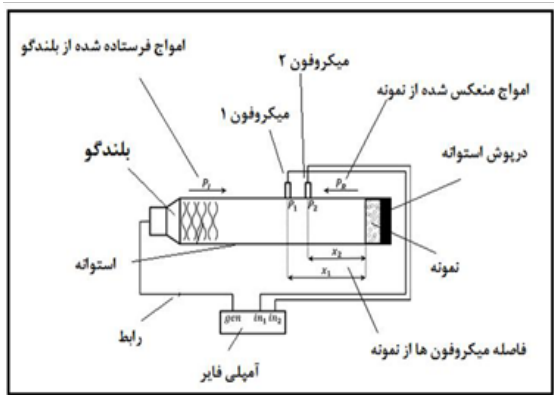
در این پژوهش از لاستیک NRSMR-۲۰، شرکت DN KLPK، مالزی)، عامل اسفنج زا ADC S ۱۲۱ (۱۲۱)، شرکت اوتسوکا، ژاپن)، دوده (۳۳۰)، شرکت کربن، ایران)، گوگرد و شتاب دهنده های MBTS و CBS، اسید استاریک و اسید روی (شرکت بایر، آلمان) و روغن موتور ۴۸۰۰ (شرکت بهران، ایران) استفاده شد. مقدار این اجزا در فرمول بندی نمونه ها (بر حسب phr) در جدول ۱ بیان

بیشتر، میزان انبساط (بازدهی اسفنج شدن) کمتر، تعداد سلول ها بیشتر، اندازه سلول ها کوچکتر و چگالی اسفنج افزایش یافته است [۱۱، ۱۵، ۱۶]. مطالعه خواص مکانیکی نشان داد که با افزایش میزان دوده، میزان حداقل کشش در نقطه پارگی کاهش، استحکام کششی افزایش، مقاومت پارگی افزایش و سختی نمونه های اسفنج شده نیز افزایش یافته است. نتایج پخت نشان داد که با افزایش میزان دوده، میزان پخت (چگالی اتصالات عرضی) افزایش، زمان اینمی کاهش، گرانروی افزایش، میزان گشتاور ابتدایی قبل از پخت افزایش و سرعت پخت نیز افزایش ناچیزی یافته است [۱۲].

در کلیه مطالعات گزارش شده، اسفنج لاستیکی توسط فرایند دو مرحله ای از آمیزه (کامپاند) لاستیکی تولید می شود. در مرحله اول که پیش پخت نامیده می شود، بخش کمی از واکنش پخت پیش رفته، عامل اسفنج زا تجزیه نشده و در آمیزه هیچ سلول یا اسفنجه تشکیل نمی شود. این مرحله معمولاً توسط دستگاه قالب گیری فشاری و در دمای کمتر از دمای تجزیه عامل اسفنج زا، انجام می شود. در مرحله دوم، نمونه پیش پخت شده وارد آون با دمای بالا شده و هم زمان با ادامه واکنش پخت، واکنش اسفنج شدن نیز شروع می شود. همچنین تعدادی از مزایای کاربردی و صنعتی این روش نسبت به سایر روش های تولید اسفنج لاستیکی مانند روش های دو مرحله ای و استفاده از رزین های لاستیکی بصورت زیر است:

جدول ۱ - فرمول بندی اجزای متغیر در نمونه های مورد استفاده در پژوهش (قسمت به ازای صد واحد لاستیک)

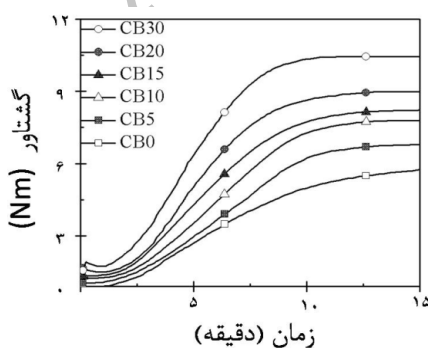
	NR	CBS	MBTS	ADC	C.B	Acid	ZnO	Oil
CB*	۱۰۰	۰.۵	۱.۲	۸	۰	۲.۵	۵	۵
CB۵	۱۰۰	۰.۵	۱.۲	۸	۵	۲.۵	۵	۵
CB۱۰	۱۰۰	۰.۵	۱.۲	۸	۱۰	۲.۵	۵	۵
CB۱۵	۱۰۰	۰.۵	۱.۲	۸	۱۵	۲.۵	۵	۵
CB۲۰	۱۰۰	۰.۵	۱.۲	۸	۲۰	۲.۵	۵	۵
CB۳۰	۱۰۰	۰.۵	۱.۲	۸	۳۰	۲.۵	۵	۵



شکل ۱- طرح واره دستگاه امپدانس تیوب

NR را در دمای ۱۶۰ درجه سانتی گراد نشان می دهد. همان طور که دیده می شود با افزایش مقدار دوده زمان اینمی و زمان پخت بهینه کاهش یافته و شاخص سرعت پخت، گشتاور ابتدایی، گشتاور نهایی و اختلاف گشتاور افزایش یافته است. نتایج در جدول ۲ بیان شده است. اثر دوده بر گشتاور از سه جنبه به صورت زیر قابل توجیه است:

الف) با افزایش مقدار دوده، میزان برهم کنش لاستیک- دوده افزایش می یابد. به عبارت دیگر مقدار اتصالات فیزیکی افزایش یافته در نتیجه حرکت پذیری زنجیر لاستیکی کاهش یافته و درنهایت گرانروی یا گشتاور ماده پخت نشده افزایش یافته است. ب) افزایش دوده باعث افزایش مقدار چگالی اتصالات عرضی شده است. (ج) همان طور که در قسمت بعد بیان خواهد شد، حضور دوده باعث افزایش تعداد سلول ها و کاهش اندازه سلولی درون اسفنج شده است. دلیل "الف" بیشتر



شکل ۲- اثر درصد دوده بر رفتار پخت اسفنج های NR در دمای ۱۶۰°C

شده است.

لاستیک طبیعی به مدت یک دقیقه در دمای محیط غلتک کاری شد. سپس تمام افزودنی ها به لاستیک اضافه شدند و غلتک کاری (غلتك L Polymix ۲۰۰ شرکت Schwabenthan آلمان) با سرعت ۳۰ rpm به مدت ۵ دقیقه ادامه یافت. تولید اسفنج، در دمای ۱۶۰ درجه سانتی گراد و تحت فشار ۵۰ بار به مدت ۳۰ دقیقه، با استفاده از دستگاه قالب گیری انجام گرفت.

مشخصات پخت آمیزه ها، به وسیله رئومتر چرخشی (Zwick) oscillating disk rheometer مدل ۴۳۰۸، آلمان) در دمای ۱۶۰ درجه سانتی گراد مطابق با استاندارد ASTM D ۲۰۸۴ تعیین شدند. ازمیکروسکوپ (scanning electron microscopy (SEM)) الکترونی روبشی (JSM-6060- Jeol آمریکا) و با استفاده از نرم افزار J image برای بررسی ساختار نمونه ها استفاده شد. آزمون فشاری با سرعت ۲۰ mm/min و با استفاده از دستگاه Hiwa-۲۰۰ (ساخت ایران) مطابق با استاندارد ASTM D ۴۱۲ انجام شد. آزمون سختی توسط دستگاه سختی سنج (مدل ۳۱۰۰، Zwick آلمان) مطابق با استاندارد ASTM D ۲۲۴۰ صورت گرفت. جهندگی به وسیله دستگاه GMBH Frank (شرکت instruments) مطابق با استاندارد ASTM D ۱۰۵۴ انجام شد. رفتار تحریب حرارتی اسفنج ها، با استفاده از دستگاه Q500 TGA TA instruments (ساخت آمریکا)، در محیط نیتروژن و با سرعت ۱۰ °C/min انجام شد.

ضریب جذب و ضریب انعکاس امواج صدا، در دمای ۶۰۰-۶۸۰۰ هرتز، با استفاده از دستگاه امپدانس تیوب دو میکروفونه (SW ۴۶۶، شرکت BSWA، چین) مطابق با استاندارد ASTM E ۱۰۵۰ انجام گرفت. شکل ۱ طرح واره ای از دستگاه امپدانس تیوب را نشان می دهد.

نتایج و بحث

اثر دوده بر رفتار پخت اسفنج NR

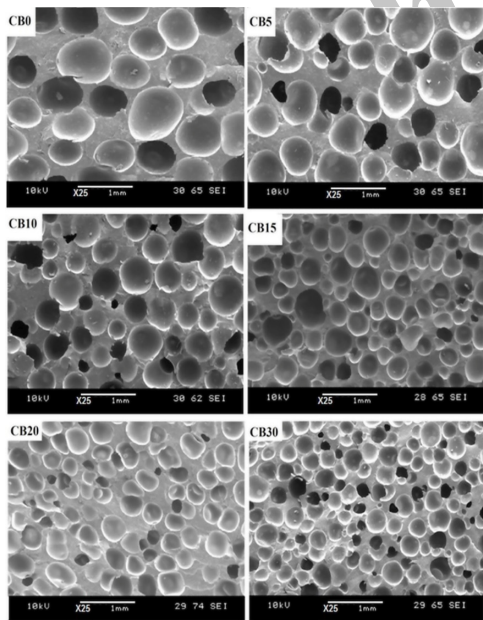
شکل ۲ اثر درصد دوده ۳۳۰ N بر رفتار پخت لاستیک

جدول ۲- اثر درصد دوده بر متغیرهای پخت اسفنج های NR در دمای ۱۶۰ °C

	M_i (Nm)	M_u (Nm)	ΔM (Nm)	M_{90} (Nm)	t_s (min)	t_{90} (min)	CLD (*10 ⁻⁵ mol/cm ³)	CRI (%/min)
CB ₀	0.8	5.8	5	5.3	3	9.2	6.5	16.1
CB ₅	1.06	6.7	5.64	6.13	2.6	8.06	6.74	18.2
CB ₁₀	1.24	7.8	6.5	7.14	2.4	7.7	6.93	19
CB ₁₅	1.36	8.3	6.9	7.6	2.1	7.3	7.21	19.4
CB ₂₀	1.54	9.0	7.5	8.2	1.9	6.6	7.91	21.1
CB ₃₀	1.73	10.4	8.7	9.5	1.5	5.8	8.3	23.2

پیدا کرد. در حالی که در اسفنج های تولید شده به روش تک مرحله ای علاوه بر اینکه اسفنجهای دارای شکل یکسان بودند، چگالی برابر و قابل تعیین داشتند. لذا همان طور که پیشتر بیان شد روش دو مرحله ای روش دقیقی برای تولید اسفنج های با چگالی دقیق و مشخص نیست. هم چنین این روش برای تولید اسفنج با شکل یا ابعاد پیچیده و دقیق اصلاً کارایی ندارد.

همان طور که در شکل ۴ نشان داده شده است، نمونه های تک مرحله ای نسبت به نمونه های دو مرحله ای تک مرحله ای نسبت به نمونه های دو مرحله ای کمتر پیچیده و دقیق هستند.

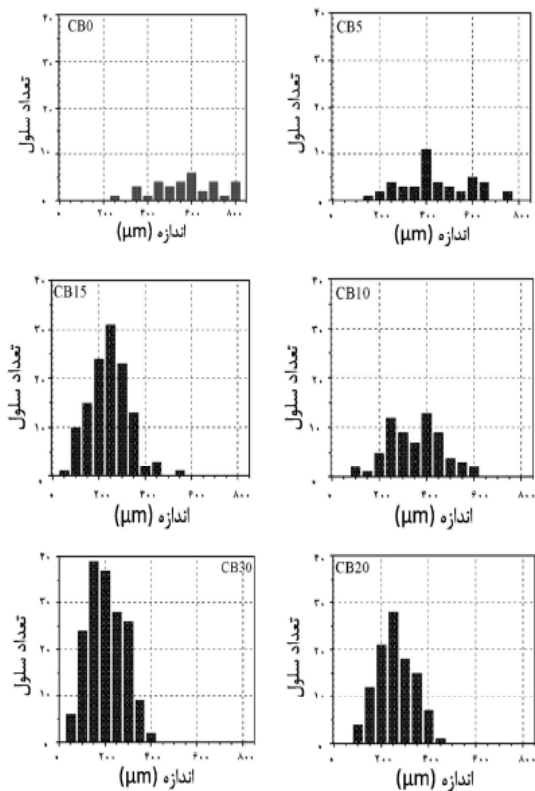


شکل ۳- اثر درصد دوده بر ریز ساختار اسفنج های NR

باعت افزایش گشتاور ابتدا ای صادق است. در حالی که دلیل "ب" و دلیل "ج" بیشتر روی متغیرهای اختلاف گشتاور و گشتاور نهایی موثر هستند. این نتایج توسط محققان دیگر نیز تأیید شده است [۱۸, ۱۷]. در فرایند پخت اسفنج لاستیکی NR، دوده باعت کاهش زمان اینمنی و زمان پخت بهینه و هم چنین افزایش شاخص سرعت پخت شده است. به عنوان مثال پخت بهینه از ۹/۲ دقیقه در نمونه S₀ به ۵/۸ دقیقه در نمونه S₃₀ کاهش یافته است در حالی که CRI از ۳۰ در نمونه S₀ به ۲۳/۲ (%) در نمونه S₃₀ (۱۶/۱ (%) در نمونه S₀) افزایش یافته است (جدول ۲). این نتایج نشان می دهد که دوده به عنوان عامل تأثیرگذار در پخت اسفنج لاستیکی عمل کرده است.

اثر افزایش درصد دوده بر ساختار سلولی اسفنج در شکل ۳ نشان داده شده است. همان طور که دیده می شود با افزایش مقدار دوده اندازه سلول ها کاهش و چگالی سلولی افزایش یافته است.

مقایسه روش تولید تک مرحله ای و دو مرحله ای: جهت بررسی مزیت دو مرحله ای با تک مرحله ای، از نمونه های دارای phr₀ تا ۳۰ phr₀، اسفنجهایی به روش تک مرحله ای نیز ساخته شد که این اسفنجهای دو مرحله ای نمایش داده شده است. همان طور که مشاهده می شود علاوه بر اینکه نمونه های دارای شکل یکسانی نبودند، چگالی اسفنجهای نیز با افزایش درصد دوده، بیشتر شد به عبارت دیگر، مقدار انبساط با افزایش دوده کاهش



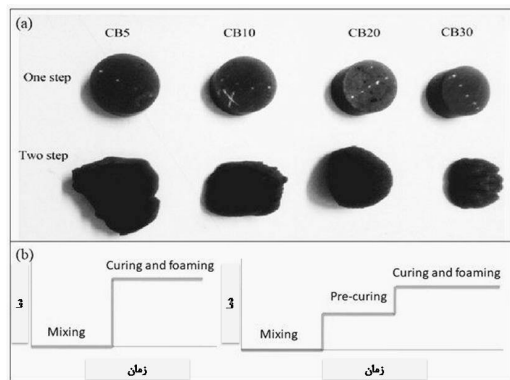
شکل ۵ - اثر درصد دوده بر پخش اندازه سلولی اسفنج های NR

هم چنین متوسط وزنی اندازه سلولی (Dw) به ترتیب ۶۴۳، ۶۲۶، ۵۲۶، ۴۲۴، ۳۱۳، ۳۰۰ و ۲۷۰ است.

برای تحلیل کلی نتایج اثر دوده روی ریخت شناسی باید به ساز و کار اسفنج شدن اشاره شود. برای اسفنج شدن دو نیرو به شرح زیر وجود دارد:

(الف) نیروی پیش برنده (driving force): این نیرو نیرویی است که باعث اسفنجه شدن و رشد سلول ها می شود. این نیرو، فشار گاز آزاد شده حاصل از تخریب عامل اسفنجه زا است که تنها نیروی پیش برنده تشکیل اسفنج است.

(ب) نیروی بازدارنده (inhibitor force): برآیند تمام نیروهایی است که در برابر تشکیل سلول و هم چنین رشد سلول درون ماتریس لاستیکی مقاومت می کنند. هر عاملی که بتواند تحرك پذیری زنجیر را کاهش داده و گرانروی یا مدول را افزایش دهد، خواهد توانست مقاومت زنجیر پلیمر در برابر حرکت و تغییر فرم را افزایش دهد. بنابراین مقاومت زنجیر در برابر فشار



شکل ۴ - (a) مقایسه اسنج های تولید شده به روش تک مرحله ای و دو مرحله ای و (b) مقایسه فرایند تولید

مرحله ای زمان فرایند کوتاه تری دارند که همین دلیل باعث کاهش زمان تولید و افزایش سرعت تولید خواهد شد. به همین دلیل محصولات تولید شده به روش تک مرحله ای می توانند قیمت تمام شده کمتری نسبت به دو مرحله ای داشته باشند.

اثر دوده بر ریزساختار اسفنج

نتایج حاصل از آزمون SEM به صورت نمودارهای میله ای در شکل ۵ نشان داده شده است. همان طور که دیده می شود افزایش دوده درون آمیزه باعث شده پخش اندازه سلولی باریک تر و اندازه آن ها نیز کوچک تر شود. به عنوان مثال پخش اندازه سلولی از محدوده $100-600 \mu\text{m}$ در نمونه S₀ به محدوده $50-400 \mu\text{m}$ در نمونه S₁₀ و در نهایت به محدوده $50-400 \mu\text{m}$ در نمونه S₃₀ کاهش یافته است.

نتایج حاصل از مطالعات آماری بر اندازه سلولی در جدول ۳ نشان داده شده است. همان طور که مشخص است با افزایش مقدار دوده، چگالی سلولی افزایش، متوسط عددی اندازه سلولی (Dn) و متوسط وزنی اندازه سلولی (Dw) با آهنگ یکسانی کاهش یافته اند. به صورتی که نمونه های S₂₀, S₁₅, S₁₀, S₅, S₂, S₃₀ دارای چگالی سلولی به ترتیب (Dn) 18.8 N/cm^3 , $140.117.76$, 42 , 387.380 , 290 , 280 و 255 میکرومتر و

جدول ۳ - اثر درصد دوده بر چگالی سلول ها، متوسط وزنی اندازه سلولی، متوسط عددی اندازه سلولی و ضریب پخش اندازه سلولی اسفنج های NR در دمای 160°C

	دانسیته سلولی	D_w	D_n	PDI
	(N/cm ³)	(μm)	(μm)	
CB*	۸	۶۴۳	۵۷۹	۱.۱۱
CB5	۱۸	۵۲۶	۴۷۷	۱.۱۰
CB10	۴۲	۴۲۴	۳۸۷	۱.۰۹
CB15	۷۶	۳۱۳	۲۹۰	۱.۰۸
CB20	۱۱۷	۳۰۰	۲۸۰	۱.۰۷
CB30	۱۴۰	۲۷۰	۲۵۵	۱.۰۵

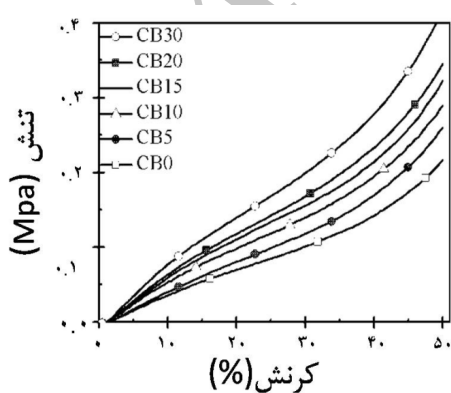
مقدار برهمکنش دوده-لاستیک باعث افزایش مدول ماتریس لاستیکی شده و از طرف دیگر باعث کاهش اندازه سلولی شده است. لذا هر دو عامل باعث افزایش خواص فیزیکی مکانیکی اسفنج شده است. اثر درصد دوده بر خواص مکانیکی اسفنج های تولید شده مانند رفتار فشاری، سختی، جهنده‌گی مطالعه شد که نتایج در جدول ۴ بیان شده است. افزایش درصد دوده با افزایش مقدار برهمکنش دوده-لاستیک و افزایش اتصالات فیزیکی باعث کاهش انعطاف‌پذیری زنجیرهای لاستیکی شده و در نهایت باعث کاهش جهنده‌گی اسفنج شده است. همان‌طور که در شکل دیده می‌شود با افزایش درصد دوده مقدار سختی اسفنج ها افزایش

گاز بیشتر شده و همین عامل باعث می‌شود سلول ها کوچک شوند.

همان‌طور که بیان شد، دوده باعث افزایش پارامترهایی مانند گرانروی لاستیک خام، اتصالات فیزیکی، مدول ماده پخت شده و سرعت پخت لاستیک شده است. همه این عوامل باعث افزایش مقاومت زنجیرهای در برابر حرکت و تغییر فرم شده و در نهایت از رشد سلول ها جلوگیری می‌نماید. لذا افزایش دوده از ۳ phr به ۱۰ phr باعث کاهش اندازه سلول ها شده است.

اثر دوده بر خواص مکانیکی اسفنج NR

در شکل ۶ اثر درصد دوده بر رفتار آزمون فشاری اسفنج های NR نشان داده شده است. همان‌طور که دیده می‌شود با افزایش درصد دوده، خواص رفتار تنش-کرنش فشاری افزایش یافته است. این افزایش در کرنش های بالا مشخص تر می‌باشد. جهت بررسی دقیق‌تر اثر دوده بر مدول اسفنج در کرنش ۵۰% در جدول ۴ نشان داده شده است. همان‌طور که در این شکل نیز دیده می‌شود مدول در کرنش ۵۰% افزایش یافته است. برای توجیه این مسئله باید به ماهیت ساختاری اسفنج اشاره شود. اسفنج های تولید شده کامپوزیت هایی با ماتریس NR و هم‌چنین پرکتنده حباب می‌باشند. افزایش درصد دوده از یک طرف با افزایش خواص پخت و افزایش



شکل ۶ - اثر درصد دوده بر رفتار آزمون فشاری اسفنج های NR

جدول ۴ - اثر درصد دوده بر برخی خواص فیزیکی و مکانیکی

سختی (shore A)	جهنگی (%)	مدول (MPa)	تنش در ۵۰٪	
			۰.۳۴	۰.۱۲
CB ₀	۱۵	۷۳		
CB ₅	۲۲	۶۳	۰.۴۰۳	۰.۲۱
CB ₁₀	۲۳.۱	۵۹	۰.۴۶۸	۲۵
CB ₁₅	۲۵.۹	۵۷	۰.۴۸۷	۲۶.۵
CB ₂₀	۲۹	۵۴	۰.۵۹۵	۳۰
CB ₃₀	۴۰	۵۰	۰.۸	۰.۴۲

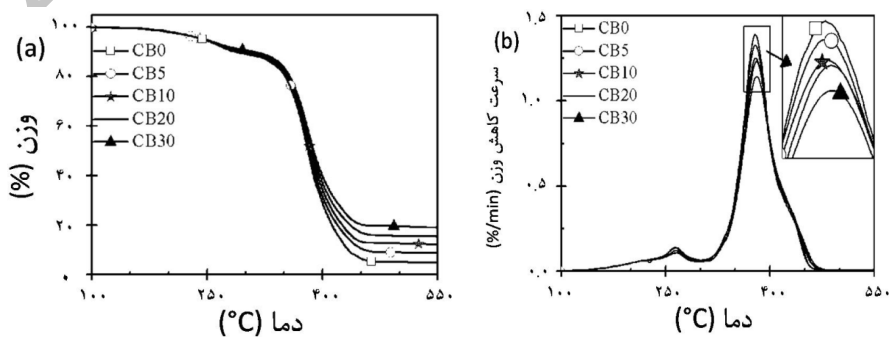
۲۰ phr تغییر محسوسی در رفتار تخریب این مرحله نداشته و فقط بیشینه سرعت تخریب را به مقدار کمی از (۰/۱۴ %/min) به (۰/۱۱ %/min) کاهش داده است. مرحله دوم مربوط به تخریب زنجیر پلیمر است و از حدود دمای ۳۱۰ شروع شده و در حدود ۴۶۰ درجه سانتی گراد تمام می شود. همان طور که مشاهده می شود افزایش درصد دوده از ۰ phr تا ۲۰ phr تغییر محسوسی در رفتار تخریب این مرحله نیز نداشته و فقط بیشینه سرعت تخریب را به مقدار کمی از (۰/۳۴ %/min) به (۰/۱۴ %/min) کاهش داده است. کاهش در بیشینه سرعت پخت هر دو مرحله می تواند دلایل مشابهی به شرح زیر داشته باشد:

- ۱) با افزایش درصد دوده درون آمیزه (درصد NR و همچنین درصد عامل اسفنج زا) کاهش یافته است، به

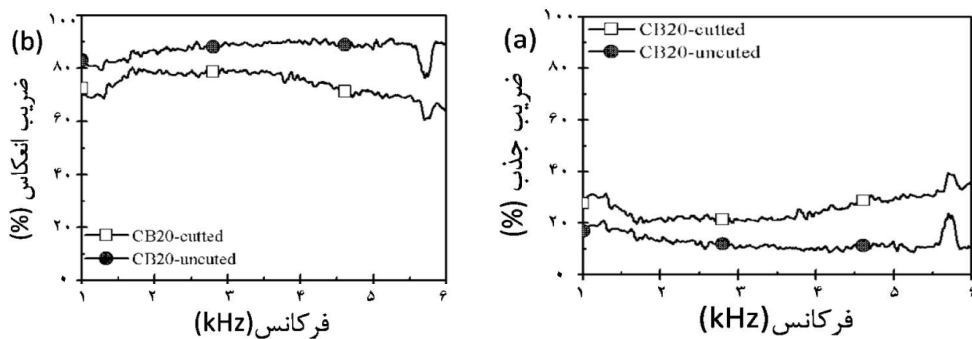
یافته است. دوده با افزایش مقدار پخت و همچنین افزایش مقدار اتصالات فیزیکی در ماتریس NR باعث افزایش مقاومت زنجیر لاستیکی در برابر نفوذ سوزن شده و سختی افزایش پیدا می کند. همچنین کاهش اندازه سلول ها می تواند باعث کاهش نفوذ سوزن درون اسفنج شده و سختی اسفنج را افزایش دهد.

اثر دوده بر رفتار تخریب حرارتی اسفنج

اثر درصد دوده بر رفتار تخریب حرارتی اسفنج NR در شکل ۷ نشان داده شده است. همان طور که دیده می شود کلیه اسفنج ها، دارای تخریب دو مرحله ای هستند که مرحله اول مربوط به تخریب افزودنی ها، عامل اسفنج زا و ناخالصی ها بوده و در محدوده دمایی ۳۱۰-۱۳۰ درجه سانتی گراد رخ می دهد. افزایش درصد دوده از ۰ تا



شکل ۷ - اثر درصد دوده بر تخریب حرارتی اسفنج های TGA(NRa) و DTGA(b)



شکل ۸ - اثر وجود لایه پوسته و لایه انتقالی بر خواص صوتی اسفنجهای NR
(a) ضریب جذب و (b) ضریب انعکاس امواج صدا

که بیان شد پوسته، لایه‌ای نازک بدون حفره یا دارای تعداد بسیار کمی حفره کوچک است. لذا امواج صدا در اثر برخورد با این لایه، منعکس شده و فقط بخش ناچیزی از امواج به درون ساختار اسفنجی وارد می‌شود. در حالی که با برش پوسته، امواج به سطح ناصاف و اسفنجی شکل برخورد می‌کنند و راحت‌تر می‌توانند وارد ساختار اسفنج شده و توسط هوای محبوس درون سلول‌ها به صورت گرما اتلاف شوند. به همین دلیل با برش پوسته و لایه انتقالی، ضریب جذب صدا افزایش و ضریب انعکاس امواج صدا از سطح اسفنج کاهش یافته است.

شکل ۹ اثر درصد دوده روی ضریب جذب و انعکاس امواج صدا از اسفنج بدون پوسته و لایه انتقالی را نشان می‌دهد. افزایش مقدار دوده، میزان انعطاف پذیری زنجیر پلیمر را کمتر کرده و اندازه سلول‌های اسفنج نیز کوچک‌تر شده است لذا ضریب جذب امواج صدا کاهش و ضریب انعکاس امواج صدا از سطح اسفنج

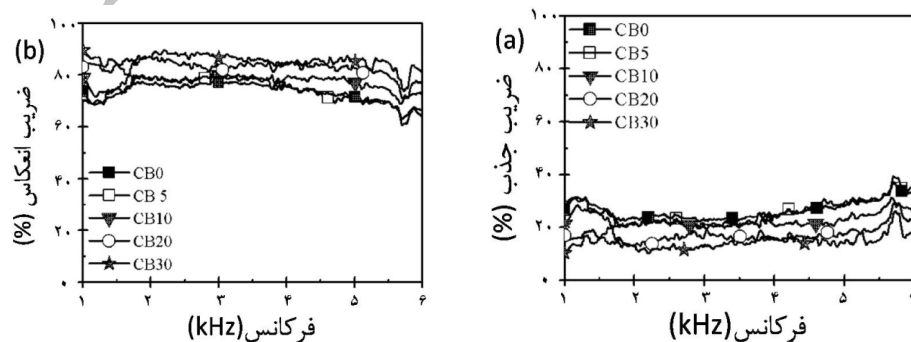
همین دلیل بیشینه سرعت تخریب هر دو مرحله کاهش یافته است.

۲) افزایش درصد دوده باعث افزایش چگالی سلولی و سخت‌تر شدن شرایط خروج گاز از نمونه و کاهش بیشینه سرعت تخریب می‌شود. هم‌چنین افزایش درصد دوده باعث شده مقدار خاکستر باقی‌مانده نیز بیش‌تر شود. افزایش خاکستر به دلیل این است که ذرات دوده در محیط نیتروژن در این دما پایدار بوده و تخریب نشده است.

اثر دوده بر رفتار جذب و انعکاس صدا اسفنج

اثر برش لایه پوسته و لایه میانی بر ضریب جذب و ضریب انعکاسی امواج صدا در اسفنجهای NR در شکل ۸ نشان داده شده است. شکل ۸ اثر برش پوسته و لایه میانی روی جذب صدا را نشان می‌دهد.

همان‌طور که مشاهده می‌شود با برش لایه‌ها جذب صدا افزایش یافته و حدوداً دو برابر شده است. همان‌طور



شکل ۹ - اثر دوده بر خواص صوتی اسفنجهای NR
(a) ضریب جذب و (b) ضریب انعکاسی امواج صدا

شد. به طوری که افزایش 30 phr دوده، پخش اندازه سلولی از محدوده $250\text{-}800\mu\text{m}$ در نمونه S 0 را به محدوده $50\text{-}400\mu\text{m}$ در نمونه S 30 کاهش و همچنین چگالی سلولی را از $(\text{N/cm}^2)^3$ به 8 افزایش داد. بررسی ها نشان داد که با افزایش 30 phr دوده، سختی اسفنج لاستیکی NR از (Shore A) 15 به 40 و مدول آن نیز از 0.74 MPa به 0.8 MPa افزایش یافته است. در نتیجه از آن جا که اسفنج، کامپوزیتی پلیمری است، دوده با افزایش خواص پخت، باعث افزایش خواص ماتریس لاستیکی و همچنین با کاهش اندازه سلولی و بهبود پخش اندازه سلولی، باعث افزایش خواص فیزیکی و مکانیکی اسفنج لاستیکی NR شده است. همچنین با افزایش دوده و کاهش اندازه سلول های اسفنج، ضریب جذب امواج صدا کاهش و ضریب انعکاس امواج صدا از سطح اسفنج افزایش یافت.

افزایش یافته است. مطالعات مشابه کاهش ضریب جذب امواج صدا با کاهش انعطاف پذیری زنجیر [۶,۵] و کاهش ضریب جذب امواج صدا با کاهش اندازه سلولی [۹-۷] را گزارش داده اند.

نتیجه گیری

افزایش دوده باعث کاهش زمان اینمنی و زمان پخت بهینه و همچنین افزایش سرعت پخت، گشتاور رابتایی، گشتاور نهایی و اختلاف گشتاور شد. به گونه ای که پخت بهینه از $9/2$ دقیقه در نمونه S 0 به $5/8$ دقیقه در نمونه S 30 کاهش در حالی که CRI از $(\text{%)min}^{-1}$ $16/1$ در نمونه S 0 به $22/2$ در نمونه S 30 افزایش یافت. ذرات دوده مانند عامل هسته زا عمل کرده که منجر به افزایش تعداد و چگالی سلولی شدند. با افزایش دوده، گرانروی و خواص پخت و در نهایت مدول ماتریس لاستیکی افزایش یافت که باعث کاهش اندازه سلول ها

مراجع

- 1- Vahidifar A., Nouri Khorasani S., Park C. B., Naguib H. E. and Khonakdar H. A., Fabrication and Characterization of Closed-Cell Rubber Foams Based on Natural Rubber/Carbon Black by One-Step Foam Processing, Industrial & Engineering Chemistry Research, 55, 2407-2416, 2016.
- 2- Vahidifar A., Nouri Khorasani Khonakdar H. A. and Esmizadeh E., Morphology and Properties of Closed Cell Rubber Foams, Basparesh, 5, 76-83, 2015.
- 3- Nayak N. and Tripathy D., Effect of Aluminium Silicate Filler on Morphology and Physical Properties of Closed Cell Microcellular Ethylene–Octene Copolymer, Journal of Materials Science, 37, 1347-1354, 2002.
- 4- Fan R. L., Zhang Y., Li F., Zhang Y. X., Sun K. and Fan Y. Z., Effect of High-Temperature Curing on the Crosslink Structures and Dynamic Mechanical Properties of Gum and N330-Filled Natural Rubber Vulcanizates, Polymer Testing, 20, 925-936, 2001.
- 5- Rodríguez-Pérez M. and De Saja J., Dynamic Mechanical Analysis Applied to the Characterisation of Closed Cell Polyolefin Foams, Polymer Testing, 19, 831-848, 2000.
- 6- Rodríguez-Pérez M., Crosslinked Polyolefin Foams: Production, Structure, Properties, and Applications, Springer, London, 2005.
- 7- Kim J.H., Choi K.-C. and Yoon J.-M., The Foaming Characteristics and Physical Properties of Natural Rubber Foams: Effects of Carbon Black Content and Foaming Pressure, Journal of Industrial and Engineering Chemistry, 12, 795-801, 2006.

- 8- Sombatsompop N. and Lertkamolsin P., Effects of Chemical Blowing Agents on Swelling Properties of Expanded Elastomers, *Journal of elastomers and plastics*, 32, 311-328, 2000.
- 9- Ariff Z., Zakaria Z., Tay L. and Lee S., Effect of Foaming Temperature and Rubber Grades on Properties of Natural Rubber Foams, *Journal of Applied Polymer Science*, 107, 2531-2538, 2008.
- 10- Najib N. N., Ariff Z. M., Bakar A. A. and Sipaut C. S., Correlation between the Acoustic and Dynamic Mechanical Properties of Natural Rubber Foam: Effect of Foaming Temperature, *Materials & Design*, 32, 505-511, 2011.
- 11- Kim J., Koh J., Choi K., Yoon J. and Kim S., Effects of Foaming Temperature and Carbon Black Content on the Cure Characteristics and Mechanical Properties of Natural Rubber Foams, *Journal of Industrial and Engineering Chemistry-seoul-*, 13, 198-205, 2007.
- 12- Lee E.-K. and Choi S.-Y., Preparation and Characterization of Natural Rubber Foams: Effects of Foaming Temperature and Carbon Black Content, *Korean Journal of Chemical Engineering*, 24, 1070-1075, 2007.
- 13- Najib N., Ariff Z., Manan N., Bakar A. and Sipaut C., Effect of Blowing Agent Concentration on Cell Morphology and Impact Properties of Natural Rubber Foam, *Journal of Physical Science*, 20, 13-25, 2009.
- 14- Vahidifar A., Khorasani S. N., Park C. B., Khonakdar H. A., Reuter U., Naguib H. E. and Esmizadeh E., Towards the Development of Uniform Closed Cell Nano-composite Foams Using Natural Rubber Containing Pristine and Organo-Modified Nanoclays, *RSC Advances*, 6, 53981-5399, 2016.
- 15- Xin Z. X., Zhang Z. X., Pal K., Byeon J. U., Lee S. H. and Kim J. K., Study of Microcellular Injection-Molded Polypropylene/Waste Ground Rubber Tire Powder Blend, *Materials & Design*, 31, 589-593, 2010.
- 16- Nakason C., Kaesaman A. and Eardrod K., Cure and Mechanical Properties of Natural Rubber-Poly (Methyl Methacrylate)-Cassava Starch Compounds, *Materials Letters*, 59, 4020-4025, 2005.
- 17- Choi S. S., Park B. H. and Song H., Influence of Filler Type and Content on Properties of Styrene Butadiene Rubber (Sbr) Compound Reinforced with Carbon Black or Silica, *Polymers for Advanced Technologies*, 15, 122-127, 2004.
- 18- Sangwichien C., Sumanatrakool P. and Patarapai-boolchai O., Effect of Filler Loading on Curing Characteristics and Mechanical Properties of Thermoplastic Vulcanizate, *Chiang Mai J. Sci*, 35, 141-149, 2008.